

III. 試験結果

前述の如く採取した抗張試験片を室温から 650°C にて30分保持後引張した結果の一部を第1、第2図に示す。即ち両図とも横軸に温度、縦軸に抗張力及び絞りをとつたものである、これらより次のことが言える。

(1) 第1図は据込の効果を示すものである。即ち最終寸法 200ϕ 、および 140ϕ の鍛造品を作るのに、間に入れた据込比3の据込の効果を、円周方向の試験成績で示してある。これでみると、特に 650°C 附近において据込の効果は認められず、全体として厄介な据込を加える必要はないようである。

(2) 次に 200ϕ の丸棒を鍛造するに、途中に据込を入れたNo.6と入れないNo.1について、軸方向の成績を比較すれば、高温において前者が強度、延伸性ともに僅かすぐれている。(図には示されていない。)

(3) その他据込比3のNo.4に比し据込比5のNo.5は絞りにおいてすぐれているが、 650°C では両者の差は僅少である(第2図)。又円周方向材力について、鍛造比 $2\cdot62$ のものも $5\cdot35$ のものも大差がなく、又軸方向材力についても、鍛造比 $2\cdot62\sim16\cdot3$ について 650°C 附近では差は僅少である。

(4) 各試料の半径位置の差による抗張試験成績の差は僅少である。又各鍛造法、鍛造比、試験片採取位置、方向等についての33ヶの常温シャルピー衝撃試験値は、 $6.2\sim29\text{kg}\cdot\text{m}/\text{cm}^2$ であつた。

IV. 結 言

以上の結果を纏めると、

(1) 19-9 WMo鋼 720kg 鋼塊からの鍛造品につき、その室温から 650°C までの短時間抗張試験成績によれば、

(a) 軸材としては鍛造比 $2\cdot62$ 、円盤としては更に据込が3あれば、充分な短時間抗張試験成績が得られる。

(b) 但しこのことは鋼塊が健全であることを前提とするのは言うまでもなく、又鍛造比 $2\cdot6$ は鋼塊の鍛造組織を破壊するのに充分な鍛造比であつた。

(2) 必要にして充分な鍛造比を確定するためには、耐熱材料の長時間にわたる諸性質、例えばクリープ抵抗と鍛造比の関係を求めなくてはならないが、以上上の結果が製造者の参考となれば幸である。

なお本研究は日本製鉄所室蘭製作所阿部前研究部長の御指導によろもので深く謝意を表する。

(65) 線材の抗張力に関する二、三の考察

(Some Consideration on Tensile Strength of Low-Carbon Steel Wire-Rod)

Katsuyoshi Kajiyama, Lecturer, et alii.

住友金属工業K.K.小倉製鉄所 山 庄 吾
永 野 幸 男・○梶 山 勝津芳

I. 緒 言

$5\cdot5\text{mm}$ 線材の如く細長い製品に加工された場合、材質上或いは加工行程の上からその機械的性質が部分的に相当の変動を生じる事が予想される。ここでは任意のチャージを選び線材並びに伸線後の試料についてコイル内およびコイル間の抗張力の変動を推計学的に調査した。

II. 試験方 法

鋼塊は50トン平炉より下注法にて 85kg に鋳込んだ。鋳入温度は $1580^{\circ}\text{C}\sim1555^{\circ}\text{C}$ であつた。試験に用いた試料の化学成分を第1表に示す。試料は圧延中連続9

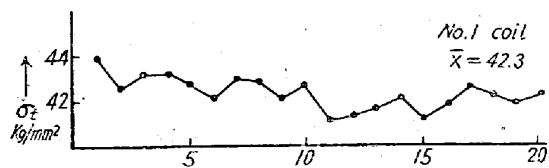
第1表

Ch.No.	C	Si	Mn	P	S
2136	0·09	0·09	0·45	0·017	0·037

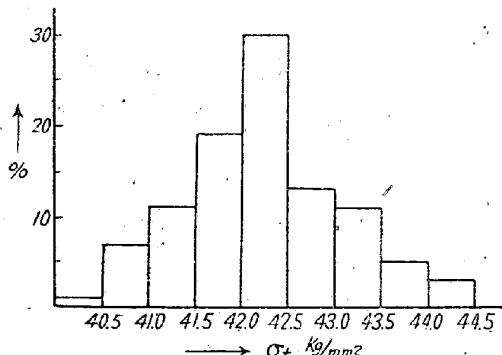
ケのコイルを探つた。この場合の圧延開始温度は $1250^{\circ}\text{C}\sim1280^{\circ}\text{C}$ 、圧延最終温度は 980°C (圧延頭) $\sim880^{\circ}\text{C}$ (圧延尾)で大体一定していた。なお最終バスを鋼塊頭から先に出たもの4本、鋼塊尾から出たもの5本であつた。1コイルの長さは約420mでこれを20ヶに等分しその1本からそれぞれ5ヶの試験片を採取した。次に前述の9束180本長さ約20mの線材を#16($1\cdot65\text{mm}^2$)に線引後1本より5ヶずつ抗張力試験片をとり検討を行つた。

III. 試験結果

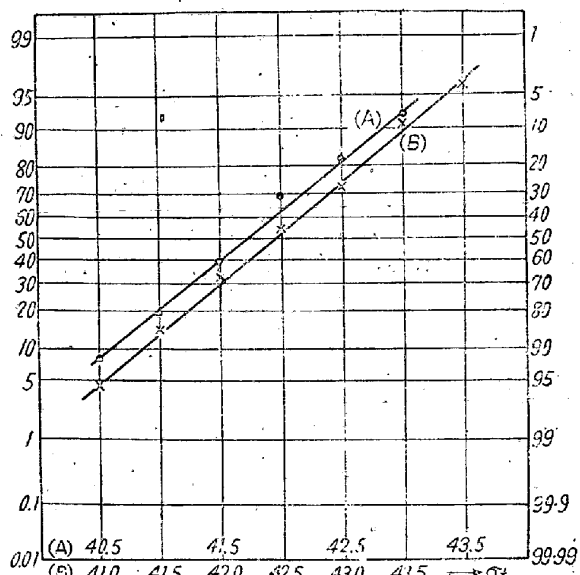
(1) コイル内における抗張力の分布、一例をNo.1のコイルについて示す。前述の方法で抗張力試験を行い、その平均値を圧延尾より順次プロットしたものが第1図である。これより分る事は、圧延の尾より頭にかけてかなりのバラッキはあるが抗張力が徐々に減少している事である。この傾向は吾々が試験を行つたすべてのコイルについても同様である。



第 1 圖



第 2 圖



第 3 圖

第 2 図は抗張力のヒストグラムであり、この累積度数分布を確率紙上にプロットしたものが第 3 図 (A) であるがコイル内における抗張力の分布は大体正規型をなすと見做し得る。

(2) コイル間の抗張力の分散および平均値の差について、第 2 表は 9 ケのコイルについて抗張力の総平均値

と分散を示す。共通の分散を求める $u^2 = 64 \cdot 1$ 。ここで Bartlett (統計数値表解説 86 頁) の方法により各コイル別の分散の均齊性を検定すると $x_0^2 = 1 \cdot 39$, $P_{\alpha}\{x^2 > 1 \cdot 34\} = 0 \cdot 995$ となり分散は非常に均齊であるといえる。次に各コイルの抗張力の平均値にどの程度差があれば有意差が認められるかを調べると $n = 38$, $\alpha = 0 \cdot 05$ として t 分布表より $t = 2 \cdot 02$ なる故 $t_0 = 10 \cdot x / \sqrt{64 \cdot 1 / 20 \times 20} / 20 + 20 \geq 2 \cdot 02$ を満足する x の値がその限界値となる。これより $x \geq 0 \cdot 51$ 即ち抗張力の平均値に $0 \cdot 51 \text{ kg/mm}^2$ 以上の差があれば 5% 以下の危険率をもつて有意差を認めてよい事になる。

(3) 鋼塊の頭部と底部とが線材の抗張力におよぼす影響：当実験に用いた鋼塊は 85kg 程度であるが頭部には収縮孔等が存在し材質的に均一性を欠くと思われるのでこれが線材となつた場合抗張力にどのような影響をおよぼすかを調べた。圧延最終パスを先に出た部分について鋼塊の頭部と底部とを分類しおの 40m を取りこれを 10 ケに等分して抗張力を測定し、その平均値を第 3 表に示す。分散比を求める $F_0 = u^2_B / u^2_T = 4 \cdot 64 < F_0^4$

第 3 表

(平均)

鋼塊頭	42.0	41.2	41.1	41.4		41.43
鋼塊尻	41.5	41.7	42.0	40.4	42.8	41.68

$(0 \cdot 05) = 9 \cdot 12$ よつて両者の分散は同一と見做し、共通の分散を求める $U^2 = 50 \cdot 24$, $F_0 = 0 \cdot 28 < F_0^4(0 \cdot 05) = 5 \cdot 59$ 。即ち 5% 以下の危険率で鋼塊の頭部と底部の部分とでは抗張力に差がないといえる。なお最終パスを最後に出た部分についても同様の方法で抗張力を測定したがこの両者間にも有意差のないことを証明し得る。

(4) 焼純した材料による検討：前項 (3) においては圧延したままの線材より 1 本の鋼塊の中で頭部、底部における抗張力の差を検討した。ここでは線材を 950°C 30 分保持後炉冷して内部歪を除去して加工、冷却条件を均一にした状態にて鋼塊の頭部と底部との抗張力の差について検討した。 $F_0 = U^2_T / U^2_B = 2 \cdot 15 < F_0^4(0 \cdot 05) = 3 \cdot 44$ 頭部と底部との間の分散に差はない。従つて第 4 表の平

第 2 表

コイル No.	1	2	3	4	5	6	7	8	9
平均	42.30	42.27	41.51	41.88	41.80	42.32	42.34	41.55	42.57
分散	51.3	96.7	51.7	67.8	51.0	67.3	58.9	68.0	64.5

第 4 表

コイル No.	1	2	3	4	5	6	7	8	9	平均
鋼塊頭	39.5	37.7	37.4	37.0	36.6	38.5	38.9	37.2	37.3	37.79
鋼塊尻	38.2	38.7	37.5	36.6	38.0	36.6	38.5	37.9	38.0	37.76

第 5 表

コイル No.	1	2	3	4	5	6	7	8	9	平均
壓延頭	42.1	41.5	41.2	41.2	41.4	42.0	41.6	40.6	42.7	41.60
壓延尻	43.1	43.6	42.2	42.6	42.8	43.4	43.2	42.4	43.2	42.91

均値を比較すると明らかに両者の間に有意差は認められぬ。

(5) 圧延時の温度差が抗張力によぼす影響：鋼塊を圧延する場合、圧延開始温度は大体一定しているが、圧延の最終温度になると 400m 以上にも延びる為頭と尻では 100°C 位の温度差がありこれは当然抗張力に影響をおよぼす事が考えられるので最終バスにおける線材の頭部および尾部についておのおの 100m よりとつた 25 ケの抗張力試験片の平均値の差について調査した。第 5 表にそのデータを示す。 $F_0 = U^2 F / U^2 L = 1.01 < F_{16}^8(0.05) = 3.44$, $u^2 = 2816$, $F_0 = 27.42 > F_{16}^4(0.01) = 8.28$ 即ち線材の圧延頭と圧延尻とでは圧延時の温度差によつて抗張力に明瞭な差を生ずる事を示す。

(6) 鋼塊位置および圧延時の温度差が伸線後の抗張力によぼす影響：5.5mm 線材の場合は (3) および (5) において上記の影響は明瞭になつたのであるが、伸線材によぼす影響をもあわせて調査した。伸線は #16 迄焼鉋なしに行い、#16 における抗張力の平均値と検定した。抗張力測定の方法は線材の場合と全く同様である。

(a) 鋼塊位置の影響：第 6 表にデータを示す。 $F_0 = u^2_B / u^2_T = 1.73 < F_{16}^4(0.05) = 9.12$, $u^2 = 234.8$, $F_0 = 0.01 < F_{16}^4(0.05) = 5.59$ 、よつて両者の抗張力に差がないとい

第 6 表 (平均)

鋼塊頭	97.8	97.5	98.9	95.8	97.50	
鋼塊尻	97.8	99.7	95.0	97.5	98.1	97.62

第 7 表

コイル No.	1	2	3	4	5	6	7	8	9	平均
壓延頭	97.8	97.8	99.7	97.5	95.0	98.9	97.5	95.8	98.1	97.57
壓延尻	100.8	97.5	99.7	100.8	98.7	102.9	99.6	97.2	98.8	99.56

える。

(b) 圧延時の温度差の影響：第 7 表にデータを示す。 $F_0 = u^2_L / u^2_F = 1.91 < F_{16}^8(0.05) = 3.44$, $u^2 = 241.7$, $F_0 = 7.34 > F_{16}^4(0.05) = 4.49$ 。即ち拉伸線においても温度差の影響は 5% 以下の危険率で認めてよい事になる。

(7) 抗張力範囲の推定：サンプリングした 9 束の試料について全試料 900 ケの抗張力を分類し、その累積度数分布を確率紙にプロットして調べた結果第 3 図(B)に示す如く殆んど正規性を示す事がわかつた。上記試料から抗張力の存在範囲を算出すると次の如くなる。 \bar{x} : 全試料の平均, \bar{R} : 5 ケの試料間の範囲の平均, \bar{x} : 5 ケの試料平均とすると

$\bar{x} = 42.07$, $\bar{R} = 1.14$, $\bar{x} = 42.07 \pm 0.577 \times 1.14 = 42.07 \pm 0.66$ $\therefore x = 42.07 \pm \sqrt{5} \times 0.66 = 42.07 \pm 1.47 (\alpha = 0.3\%)$ 即ちこのチャーチに於ける抗張力は 43.54 と 40.60 の間に殆んど存在することが推定される。

IV. 結論

以上の試験結果を総括すると次の如くなる。

1. コイル内における抗張力の分布は概ね正規型をなす。
2. コイル間においては抗張力の分散には差はなく平均値は 0.51 kg/mm^2 以上違えば有意差を示す。
3. 鋼塊の頭部と底部に相当する線材の抗張力に差は認められぬ。
4. 焼鉋した材料に於いても (3) と同様な結論が得られる。
5. 最終圧延における温度差は抗張力に有意差を生ずる。
6. 伸線後の抗張力については (3)(4) と同一結果になる。

7. 以上9束のサンプリングした全試料より推定すると抗張力は43.54と40.60との間に存在する

(66) 渗炭剤の老化に就ての研究 (I)

(反応性低下に就て)

Study on the Deterioration of Carburizing Agents—(I)

(On Decrease of the Reactivity)

Taira Okamoto, et alius.

大阪大学教授 工博 多賀谷正義

大阪大学産業科学研究所 工〇岡本平

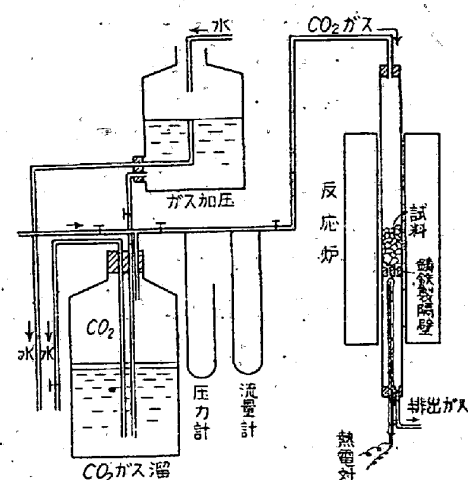
I. 緒言

渗炭剤を繰り返し使用した場合、その渗炭能力は劣化するものと考えられ、その主因子の一つとして木炭の反応性低下によるとしているものが多いが¹⁾²⁾、実際には木炭の反応性低下に就いての充分な満足すべき研究は行われていない。渗炭剤の反応性は渗炭鋼表面に生成されたCO₂を渗炭成分であるCOにどれだけ早く、かつどれだけ多く変成するかにより決められるべきで、前者は反応速度論的な問題であり、後者は平衡論的な問題である。老化に際しての木炭反応性低下は反応速度論的にはよく検討されているが、平衡論的には何等の考慮も払われていない。単に一般的な問題としてCO₂→CO変成反応の準平衡値が促進剤によつて移動することが報告されているにすぎない²⁾³⁾、以上の様に渗炭剤の反応性低下の問題は未解決な所一特に木炭反応性低下一があり、これを解明するための一実験として、木炭が酸化燃焼することによつてCO₂→CO変成反応に及ぼす影響をしらべ、更に促進剤添加の影響及び渗炭剤の密閉函中高温長時間加熱の影響をも併せて検討した。最後にCO₂の渗炭剤上流通速度の反応性への影響をしらべた。

II. 実験方法及試料

供試木炭(渗炭剤)は垂直の磁性管(内径2cm長さ77cm)中に下部に目打ちせる鉄製隔壁で支えるようにして5g~18gまでの種々の採量で充填する。この磁性管を炉で加熱する前に管内にCO₂ガスを満し、900°Cまで約20minで加熱する。管へのガス導入は上部より行い、下部より排出する。温度測定は鉄製隔壁直下で熱電対をもつて行う。900°C昇温後10, 30, 50及び70min後3min間CO₂を0.3l/min(標準状態)の速度にて管中を通し、排出ガスはガス分析用のガス捕集管を通る

ようにしてガス捕集の際の実験条件の変動を防ぐ。3minガス流通後、排出ガス中CO₂を分析した。ガス流通時間を限定したものは試料消耗による実験誤差をさけるためである。



第1圖

供試木炭は硬炭としての櫻炭と軟炭の一つとしての松炭をとつた。木炭粒は5~7mmとした。これらの木炭をマッフル炉内で930°Cで急速に酸化燃焼した⁴⁾種々の酸化率のものを実験に供した。(2~3hrで30~45%酸化率のものとする。)これらの急速酸化燃焼木炭は繰り返し使用によつてえられる緩徐酸化燃焼木炭と幾分かの違いはあるだろうが、電気抵抗値、酸化度の測定結果及び組織観察により大差なきことが認められた。更に供試渗炭剤として上記木炭に促進剤BaCO₃10%, Na₂CO₃5%を添加した種々の酸化率のものを実験に供した。またこの渗炭剤を高温で長時間密閉函中で加熱保持したものについてもその反応性をしらべた。

III. 実験結果及考察

(1) 木炭粒度の影響

小さい試料採量の場合は、一般に木炭粒の細いものは最初よく急激に悪化するに反し、粗いものは最初悪く徐々に悪化する。ある時間後には同じ程度の反応性を持つ。大なる試料採量の場合は、粒度による明らかな差異現われず、その影響は判然としない。結局、木炭粒度の影響は反応表面積の減少に関係してきて、全般的にみると木炭粒度の差異は現われない。

(2) 木炭の酸化による反応性変化

木炭の酸化燃焼率と反応性の関係をしらべた結果、明らかに試料採量の変化によつてその傾向が異なる事が判つた。採量の小なる場合(5g)は松炭と櫻炭によつても相違するが、反応性は木炭酸化によつて低下する傾向を